



Math-Net.Ru

Общероссийский математический портал

А. Н. Коновалов, Ю. П. Попов, Оптимальные явно разрешимые дискретные модели с контролируемым дисбалансом полной механической энергии для динамических задач линейной теории упругости, *Сиб. матем. журн.*, 2015, том 56, номер 5, 1092–1099

DOI: <https://doi.org/10.17377/smzh.2015.56.509>

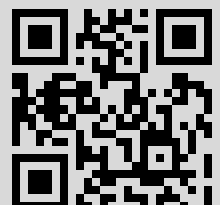
Использование Общероссийского математического портала Math-Net.Ru подразумевает, что вы прочитали и согласны с пользовательским соглашением

<http://www.mathnet.ru/rus/agreement>

Параметры загрузки:

IP: 84.237.86.31

16 января 2018 г., 09:23:14



УДК 519.63+539.3

ОПТИМАЛЬНЫЕ ЯВНО РАЗРЕШИМЫЕ
ДИСКРЕТНЫЕ МОДЕЛИ С КОНТРОЛИРУЕМЫМ
ДИСБАЛАНСОМ ПОЛНОЙ МЕХАНИЧЕСКОЙ
ЭНЕРГИИ ДЛЯ ДИНАМИЧЕСКИХ ЗАДАЧ
ЛИНЕЙНОЙ ТЕОРИИ УПРУГОСТИ
А. Н. Коновалов, Ю. П. Попов

Аннотация. Для динамических задач линейной теории упругости построены и обоснованы оптимальные явно разрешимые дискретные (сеточные) модели с контролируемым дисбалансом полной механической энергии и максимально возможной степенью параллелизма.

DOI 10.17377/smzh.2015.56.509

Ключевые слова: динамические задачи линейной теории упругости, равновесные модели, аппроксимационная вязкость, неравновесные модели, управление дисбалансом полной механической энергии.

Математическое моделирование на ЭВМ изучаемого физического процесса связано с технологической цепочкой [1, гл. II], один из этапов которой можно представить следующим образом: $I \rightarrow I_h \rightarrow II \rightarrow III$. Здесь I — непрерывная математическая модель изучаемого процесса, I_h — дискретная модель, II — алгоритм реализации дискретной модели, III — программа для конкретной ЭВМ. Далее мы ограничимся оптимизацией этапа $I \rightarrow I_h \rightarrow II$ для динамических задач линейной теории упругости.

С изучаемым процессом свяжем фазовый объем $G = [0 \leq t \leq t_*] \times V$. Здесь t — время, а при лагранжевом описании в качестве $V = V(M)$ можно принять фиксированный пространственный объем $V(M)$ с границей $\gamma = \gamma_1 \cup \gamma_2 = \partial V$. Тем самым параметры процесса определяются как тензорные функции векторного аргумента (M, t) , $M \in V$. Для динамической задачи векторы перемещений $u(M, t)$ и скорость $v(M, t)$ трактуются как элементы гильбертова пространства $H^1(t)$, а тензоры ранга два: деформаций $\varepsilon(M, t)$ и напряжений $\sigma(M, t)$ — как элементы гильбертова пространства $H^2(t)$. Скалярные произведения в $H^1(t)$, $H^2(t)$ задаются как свертка соответствующих элементов [2, гл. II]. Связь между параметрами динамической задачи задается: уравнением состояния, определяющими соотношениями и законом сохранения импульса в поле массовых сил. Положим (символ T означает транспонирование)

$$\sigma_1 = (\sigma_{11}, \sigma_{22}, \sigma_{33})^T, \quad \sigma_2 = (\sigma_{12}, \sigma_{13}, \sigma_{23})^T, \quad \sigma = (\sigma_1, \sigma_2)^T,$$

Работа выполнена в рамках Программы № 2 фундаментальных исследований Президиума РАН «Интеллектуальные информационные технологии, математическое моделирование, системный анализ и автоматизация». Поддержана Министерством образования и науки Российской Федерации (проект «Фундаментальные проблемы математического моделирования и вычислительной математики» ГК 14.740.11).

© 2015 Коновалов А. Н., Попов Ю. П.

$$\varepsilon_1 = (\varepsilon_{11}, \varepsilon_{22}, \varepsilon_{33})^T, \quad \varepsilon_2 = (2\varepsilon_{12}, 2\varepsilon_{13}, 2\varepsilon_{23})^T, \quad \varepsilon = (\varepsilon_1, \varepsilon_2)^T.$$

Тогда уравнение состояния

$$\sigma = K\varepsilon \leftrightarrow \sigma_{ij} = \mu 2\varepsilon_{ij} + \lambda \delta_{ij}(\varepsilon_{11} + \varepsilon_{22} + \varepsilon_{33}) \quad (1)$$

задается блочной матрицей $K : H^2 \rightarrow H^2$, где

$$K = \begin{pmatrix} K_1 & 0 \\ 0 & K_2 \end{pmatrix}, \quad K_1 = \begin{pmatrix} (\lambda + 2\mu) & \lambda & \lambda \\ \lambda & (\lambda + 2\mu) & \lambda \\ \lambda & \lambda & (\lambda + 2\mu) \end{pmatrix}, \quad K_2 = \begin{pmatrix} \mu & 0 & 0 \\ 0 & \mu & 0 \\ 0 & 0 & \mu \end{pmatrix}.$$

Здесь $\lambda(M) > 0$, $\mu(M) > 0$ – коэффициенты Ламе, $K = K^T > 0$, а уравнение состояния (1) можно записать так: $\sigma_1 = K_1\varepsilon_1$, $\sigma_2 = K_2\varepsilon_2$.

Пусть далее $u = (u_1, u_2, u_3)^T$, $v = (v_1, v_2, v_3)^T$, $\partial u / \partial t = v$. Тогда

$$\varepsilon = Ru = \begin{pmatrix} \partial_1 & 0 & 0 \\ 0 & \partial_2 & 0 \\ 0 & 0 & \partial_3 \\ \partial_2 & \partial_1 & 0 \\ \partial_3 & 0 & \partial_1 \\ 0 & \partial_3 & \partial_2 \end{pmatrix} \begin{pmatrix} u_1 \\ u_2 \\ u_3 \end{pmatrix} \leftrightarrow 2\varepsilon_{ij} = \partial_j u_i + \partial_i u_j, \quad \partial_i = \frac{\partial}{\partial x_i}, \quad (2)$$

и определен оператор $R : H^1 \rightarrow H^2$. Будем считать, что для $u \in H^1$, $\sigma \in H^2$ имеет место

$$u/\gamma_1 = 0, \quad \sigma_{ij} n_j / \gamma_2 = 0, \quad (3)$$

где n_j – компоненты орта внешней нормали к γ_2 . Для оператора $R^* : H^2 \rightarrow H^1$, сопряженного оператору R , по определению

$$(u, R^* \sigma)_{H^1} = (Ru, \sigma)_{H^2}, \quad u \in H^1, \quad \sigma \in H^2.$$

Поэтому

$$R^* \sigma = -R^T \sigma = - \begin{pmatrix} \partial_1 & 0 & 0 & \partial_2 & \partial_3 & 0 \\ 0 & \partial_2 & 0 & \partial_1 & 0 & \partial_3 \\ 0 & 0 & \partial_3 & 0 & \partial_1 & \partial_2 \end{pmatrix} \begin{pmatrix} \sigma_1 \\ \sigma_2 \end{pmatrix} = -\operatorname{div} \sigma, \quad (4)$$

а с учетом (3) закон сохранения импульса можно записать следующим образом:

$$\rho \frac{\partial v}{\partial t} + R^* \sigma = \rho f. \quad (5)$$

Тем самым приходим к «непрерывной» замкнутой модели для линейной динамической задачи теории упругости:

$$\rho \frac{\partial v}{\partial t} + R^* \sigma = \rho f(M), \quad \varepsilon = Ru, \quad \sigma = K\varepsilon, \quad \frac{\partial u}{\partial t} = v, \quad (6)$$

$$u(M, t) = \varphi_1(M), \quad v(M, 0) = \varphi_2(M).$$

Краевые условия (3) следует учитывать при задании областей определения операторов R и R^* .

В (6) не предписан порядок определения искомого параметров и наряду с (6) могут рассматриваться также иные замкнутые модели изучаемой задачи, например, «в перемещениях». Тогда

$$\rho \frac{\partial v}{\partial t} + R^* \sigma = \rho f \rightarrow \rho \frac{\partial^2 u}{\partial t^2} + R^* K \varepsilon = \rho f \rightarrow \rho \frac{\partial^2 u}{\partial t^2} + R^* K R u = \rho f. \quad (7)$$

Однако последний переход в (7) связан с молчаливым предположением о разрешимости операторного уравнения

$$Ru(M, t) = \varepsilon(M, t) \quad (8)$$

для любого $t > 0$. Условие разрешимости операторного уравнения (8) будем использовать в таком виде [3, гл. IV]:

$$(\varepsilon, \psi)_{H^2} = 0, \quad R^* \psi = 0. \quad (9)$$

Можно показать, что условия совместности (сплошности) Сен-Венана, равенство нулю тензора несовместности и (9) эквивалентны.

Лемма 1. Если $\partial u / \partial t = v \in H^1$ и для $\varepsilon(M, t) \in H^2$ имеет место

$$\frac{\partial \varepsilon}{\partial t} - Rv = 0, \quad \varepsilon(M, 0) = R\varphi_1(M), \quad (10)$$

то операторное уравнение (8) разрешимо для любого $t > 0$, а $u \in H^1$ определяется из (8) с точностью до ядра оператора R : $u = R^{-1}\varepsilon + u_*$, $Ru_* = 0$. Элемент u_* (вектор жесткого перемещения) фиксируется с помощью краевого условия на γ_1 .

Использование определяющего соотношения (2) в форме (10) позволяет перейти от (6) к замкнутой модели

$$D \frac{\partial w}{\partial t} + Aw = f_*, \quad w = (v, \sigma)^T, \quad f_* = (\rho f, 0)^T, \quad \frac{\partial u}{\partial t} = v, \quad \varepsilon = K^{-1}\sigma, \quad (11)$$

$$D = \begin{pmatrix} \rho E_1 & 0 \\ 0 & K^{-1} E_2 \end{pmatrix}, \quad E_1 v = v \in H^1, \quad E_2 \sigma = \sigma \in H^2, \quad A = \begin{pmatrix} 0 & R^* \\ -R & 0 \end{pmatrix},$$

с кососимметричным оператором A , начальными данными из (6), (10) и краевыми условиями (3). В (11) первоначальному определению подлежит ковектор w и лишь затем параметры $u \in H^1$, $\varepsilon \in H^2$.

Теорема 1. Базовая модель (11) обладает дополнительным законом сохранения

$$\frac{\partial J(t)}{\partial t} = (\rho f, v)_{H^1}, \quad J(t) = J_1(t) + J_2(t) = 0,5(\rho v, v)_{H^1} + 0,5(\varepsilon, \sigma)_{H^2}. \quad (12)$$

Перепишем (12) следующим образом:

$$J(t + \Delta t) = J(t) + \int_t^{t+\Delta t} \left(\rho f, \frac{\partial u}{\partial t} \right)_{H^1} dt = J(t) + Q(t + \Delta t). \quad (13)$$

Отметим, что $J_1(t)$ в (12) соответствует кинетической энергии упругой среды, $J_2(t)$ — потенциальной энергии упругих деформаций, отнесенных к объему V , Q в (13) — это работа массовых сил на приращениях Δu за время Δt . Поэтому о (12) обычно говорят как о законе сохранения полной механической энергии упругой среды в объеме V .

Обратимся к переходу $I \rightarrow I_h$. Используемые далее обозначения стандартны в теории разностных схем. Итак,

$$G \rightarrow G_h = [0, \tau, \dots, n\tau, \dots, k\tau = t_*] \times V_h, \quad M_h \in V_h, \quad w_h^n = w(M_h, n\tau) = (v_h^n, \sigma_h^n)^T,$$

$\gamma \rightarrow \gamma_h = \gamma_{1h} \cup \gamma_{2h}$, $u/\gamma_1 = 0 \rightarrow u_{h/\gamma_{1h}}^n = 0$, $\sigma_{ij}n_{j/\gamma_2} = 0 \rightarrow (\sigma_h^n)_{ij}n_{j/\gamma_{2h}} = 0$,
 $\tau(\cdot)_t^{n+1} = (\cdot)_h^{n+1} - (\cdot)_h^n$, $\partial_j^+(\cdot)_h = (\cdot)_{x_j}$, $\partial_j^-(\cdot)_h = (\cdot)_{\bar{x}_j}$, $(\cdot)_\alpha = \alpha(\cdot)_h^{n+1} + (1-\alpha)(\cdot)_h^n$.
 При переходе $I \rightarrow I_h$ основным является требование сопряженно согласованной аппроксимации [4]:

$$(Ru, \sigma)_{H^2} = (u, R^*\sigma)_{H^1} \rightarrow (R_h u_h, \sigma_h)_{H_h^2} = (u_h, R_h^* \sigma_h)_{H_h^1}. \quad (14)$$

Это требование достаточно конструктивно, и если, например, в $R = R(\partial_1, \partial_2, \partial_3)$ для оператора ∂_j выбрана аппроксимация ∂_j^+ , то для того же оператора ∂_j в $R^* = R^*(\partial_1, \partial_2, \partial_3)$ следует выбрать аппроксимацию ∂_j^- .

Основные вычислительные проблемы на переходе $I \rightarrow I_h$ связаны с качеством разностной схемы для задачи

$$D \frac{\partial w}{\partial t} + Aw = f_*, \quad w(M, 0) = (\varphi_2(M), KR\varphi_1(M))^T. \quad (15)$$

Непрерывной модели (15) поставим в соответствие дискретную, сопряженно согласованную двухпараметрическую модель

$$\rho_h v_t^{n+1} + R_h^* \sigma_\alpha = \rho_h f_h, \quad K_h^{-1} \sigma_t^{n+1} - R_h v_\beta = 0, \quad v_h^0 = \varphi_{2h}, \quad \varepsilon_h^0 = R_h \varphi_{1h},$$

для которой будем использовать операторную запись: $y = (v_h, \sigma_h)^T$,

$$B_h y_t^{n+1} \equiv (D_h + \tau A_{\alpha,\beta}) y_t^{n+1} = (f_*)_h - A_h y^n \equiv r^n, \quad \text{элемент } y^0 \text{ задан.} \quad (16)$$

Здесь

$$D_h = \begin{pmatrix} \rho_h E_1 & 0 \\ 0 & K_h^{-1} E_2 \end{pmatrix}, \quad A_{\alpha,\beta} = A_\alpha + A_\beta = \begin{pmatrix} 0 & \alpha R_h^* \\ 0 & 0 \end{pmatrix} + \begin{pmatrix} 0 & 0 \\ -\beta R_h & 0 \end{pmatrix},$$

$$A_h = A_{1,1}.$$

Общие принципы построения экономичных алгоритмов обращения оператора B_h в (16) при переходе $y^n \rightarrow y^{n+1}$ достаточно хорошо известны. Здесь воспользуемся методом приближенной факторизации и вместо (16) на переходе $y^n \rightarrow y^{n+1}$ будем использовать факторизованную дискретную модель [5, гл. XIV]

$$(B_*)_h y_t^{n+1} = r^n, \quad (B_*)_h = (D_h + \tau A_\alpha) D_h^{-1} (D_h + \tau A_\beta), \quad (17)$$

элемент y^0 задан

Формальным основанием для такой замены является очевидное: $(B_*)_h = B_h + O(\tau^2)$. Реализация (17) осуществляется стандартным образом. Тогда

$$\begin{pmatrix} \rho_h E_1 & \alpha \tau R_h^* \\ 0 & K_h^{-1} E_2 \end{pmatrix} \begin{pmatrix} v_* \\ \sigma_* \end{pmatrix} = \begin{pmatrix} r_1^n \\ r_2^n \end{pmatrix} \leftrightarrow (D_h + \tau A_\alpha) y_* = r^n, \quad (17.1)$$

$$\begin{pmatrix} \rho_h E_1 & 0 \\ -\beta \tau R_h & K_h^{-1} E_2 \end{pmatrix} \begin{pmatrix} v_t^{n+1} \\ \sigma_t^{n+1} \end{pmatrix} = \begin{pmatrix} \rho_h v_* \\ K_h^{-1} \sigma_* \end{pmatrix} \leftrightarrow (D_h + \tau A_\beta) y_t^{n+1} = D_h y_* \quad (17.2)$$

и утверждение о явной разрешимости дискретной модели (17) становится очевидным. Столь же очевидно и утверждение о том, что степень распараллеливания дискретной модели (17) одна и та же для всех $0 \leq \alpha, \beta \leq 1$. Отметим также, что оператор $(D_h + \tau A_\alpha) = U$ в (17.1) верхний треугольный, оператор $(D_h + \tau A_\beta) = L$ в (17.2) нижний треугольный. Тем самым с помощью приближенной факторизации реализуется разложение

$$(D_h + A_{\alpha,\beta}) = U D_h^{-1} L + O(\tau^2). \quad (18)$$

Далее следует определиться с конкретным выбором параметров $0 \leq \alpha, \beta \leq 1$ в дискретной модели (16).

Теорема 2. При $\alpha = \beta = 0,5$ дискретная модель (16) «наследует» закон сохранения полной механической энергии (12) [6]:

$$(J_h)_t^{n+1} = (\rho_h f_h, v_{0,5})_{H_h^1}, \quad (19)$$

где $(J_h)^n = (J_{1h}^n) + (J_{2h}^n) = 0,5(\rho_h v_h^n, v_h^n)_{H_h^1} + 0,5(\varepsilon_h^n, \sigma_h^n)_{H_h^2}$.

При доказательстве теоремы 2 используется очевидное следствие из (16):

$$(\rho_h v_t^{n+1}, v_\beta)_{H_h^1} + (K_h^{-1} \sigma_t^{n+1}, \sigma_\alpha)_{H_h^2} = (\rho_h f_h, v_\beta)_{H_h^1},$$

что вместе с

$$\sigma_\alpha = \sigma_{0,5} + \tau(\alpha - 0,5)\sigma_t^{n+1}, \quad v_\beta = v_{0,5} + \tau(\beta - 0,5)v_t^{n+1}$$

дает

$$\begin{aligned} (J_h)_t^{n+1} + \tau Q(\alpha, \beta) &= (\rho_h f_h, v_\beta)_{H_h^1}, \quad Q(\alpha, \beta) = Q(\alpha) + Q(\beta), \\ Q(\alpha) &= (\alpha - 0,5)(R_h^* K_h R_h v_\beta)_{H_h^1}, \quad Q(\beta) = (\beta - 0,5)(\rho_h v_t^{n+1}, v_t^{n+1})_{H_h^1} \end{aligned} \quad (20)$$

Тем самым утверждение теоремы 2 становится следствием (20).

Появление слагаемого $\tau Q(\alpha, \beta)$ в законе сохранения (20) связывают, как правило, с «аппроксимационной вязкостью» разностной схемы (16). Обычно при этом в слово «вязкость» не вкладывается какой-либо физический смысл. Но тогда возникает следующий вопрос: какому физическому процессу соответствует дискретная модель (16) с законом сохранения (20)? При $\alpha = \beta = 0,5$ ответ на этот вопрос содержится в теореме 2. С другой стороны, если $\alpha \geq 0,5$, $\beta \geq 0,5$, то $Q(\alpha, \beta) \geq 0$ и при $f_h = 0$ из (20) вытекает

$$J_h^{n+1} \leq J_h^n \leq \dots \leq J_h^1 \leq J_h^0, \quad (21)$$

что означает равномерную устойчивость по начальным данным в энергетической норме J_h со всеми вытекающими отсюда следствиями из [7, гл. II, III] относительно сходимости разностной схемы (16). Однако (21) предполагает наличие механизма диссипации, который отсутствует в непрерывной базовой модели (11).

В этой связи остановимся на достаточно содержательном случае (16) ($\alpha \geq 0,5$, $\beta = 0,5$), для которого

$$(J_h)_t^{n+1} + \tau(\alpha - 0,5)(R_h^* K_h R_h v_{0,5}, v_{0,5})_{H_h^1} = (\rho_h f_h, v_{0,5})_{H_h^1}, \quad (22)$$

и введем в рассмотрение динамическую задачу для вязкоупругой изотропной среды Кельвина (Кельвина — Фойгта). В отличие от (1) уравнение состояния в этом случае записывается следующим образом:

$$\sigma'_1 = K_1 \varepsilon_1 + \eta_1 \frac{\partial \varepsilon_1}{\partial t}, \quad \sigma'_2 = K_2 \varepsilon_2 + \eta_2 \frac{\partial \varepsilon_2}{\partial t}. \quad (23)$$

Скалярные функции $\eta_1(M) > 0$, $\eta_2(M) > 0$ в (23) определяют объемную и сдвиговую вязкости рассматриваемой среды. Ради некоторых упрощений положим $\eta_1 = \eta_2 = \eta$, и тогда

$$\sigma' = K\varepsilon + \eta \frac{\partial \varepsilon}{\partial t} = \sigma + \eta \frac{\partial \varepsilon}{\partial t} = \sigma + \eta Rv.$$

Тем самым для задачи динамики изотропной вязкоупругой среды «типа Кельвина» приходим к непрерывной базовой модели

$$\rho \frac{\partial v}{\partial t} + R^* \sigma + R^* \eta Rv = \rho f, \quad K^{-1} \frac{\partial \sigma}{\partial t} - Rv = 0 \quad (24)$$

с законом сохранения

$$\frac{\partial J}{\partial t} + (R^* \eta Rv, v)_{H^1} = (\rho f, v)_{H^1}. \quad (25)$$

Физические процессы, описываемые непрерывными базовыми моделями (11) и (24), принципиально различаются. В первом случае речь идет о равновесном (обратимом) процессе, во втором — о необратимом. Мерой необратимости процесса служит энтропия $s(t)$, отнесенная к заданному объему V . Для изотропной вязкоупругой модели (24) в [8, ч. 1, § 16]

$$\rho T \frac{ds}{dt} = \Phi, \quad \Phi = (R^* \eta Rv, v)_{H^1}, \quad (26)$$

где T — абсолютная температура, Φ — диссипативная функция, характеризующая изменение механической энергии $J(t)$ на переходе $t \rightarrow t + \Delta t$. С учетом (26) закон сохранения (25) переписывается следующим образом:

$$\frac{\partial J}{\partial t} + \rho T \frac{ds}{dt} = (\rho f, v)_{H^1} \leftrightarrow \frac{\partial J}{\partial t} + \Phi = (\rho f, v)_{H^1}, \quad (27)$$

откуда при $f = 0$ вытекает (сравни с (21)!)

$$J(t + \tau) \leq J(t). \quad (28)$$

Наконец, отметим, что закон сохранения для дискретной упругой модели (16) при $\alpha \geq 0,5, \beta = 0,5$ можно записать так:

$$\begin{aligned} (J_h)_t^{n+1} + \Phi_h &= (\rho_h f_h, v_{0,5})_{H_h^1}, \quad \Phi_h = (R_h^* (\eta_*)_h R_h v_{0,5}, v_{0,5})_{H_h^1}, \\ (\eta_*)_h &= \tau(\alpha - 0,5)K_h. \end{aligned} \quad (29)$$

Вместе с (27) это приводит к следующему результату.

Теорема 3. При $\alpha > 0,5, \beta = 0,5$ дискретная модель динамики упругой среды (16) и дискретная модель динамики изотропной вязкоупругой среды «типа Кельвина», вязкость $(\eta_*)_h$ которой определена в (29), эквивалентны.

Факторизация оператора B_h в (16) приводит к явно разрешимой неравновесной модели (17). Поэтому неизбежен дисбаланс полной механической энергии, а после завершения расчета ($t = t_* = k\tau$) вместо $J_h^k = J_h^0$ будем иметь

$$J_h^k + 0,125\tau^2 (L_h v_h^0, v_h^0)_{H_h^1} = J_h^0 + 0,125\tau^2 (L_h v_h^k, v_h^k), \quad L_h = R_h^* K_h R_h. \quad (30)$$

Введем в рассмотрение спектральную задачу

$$L_h q_m = \nu_m \rho_h q_m, \quad q_m \in H_h^1, \quad 0 < \nu_1 < \nu_2 < \dots < \nu_{N-1} < \nu_N = \nu_{\max}. \quad (31)$$

Оценка сверху для ν_{\max} известна: $h^2 \nu_{\max} \leq c^2(V_h)$, и областная константа $c^2(M_h)$ от h не зависит. Если в (30) $J_h^k < J_h^0$, то из (30), (31) следует

$$(1 - J_h^k / J_h^0) \leq 0,25\omega_1 = \varepsilon_1. \quad (32)$$

Здесь и далее $\omega = c\tau/h$ — число Куранта. Если же в (30) $J_h^0 < J_h^k$, то вместо (32) будем иметь

$$(1 - J_h^0/J_h^k) \leq 0,25\omega_1 = \varepsilon_1. \quad (33)$$

Оценки (32), (33) дают возможность с помощью параметра ω_1 «управлять» дисбалансом полной механической энергии, поскольку именно ε_1 в (32), (33) является относительной мерой дисбаланса.

Оценки (32), (33) имеют место и для явно разрешимых дискретных моделей (17; $0,5 < \alpha \leq 1$, $\beta = 0,5$). При этом ε_1 из (32), (33) следует заменить на $\varepsilon_2 = 0,5\alpha^2\omega_2^2$. Если $\omega_1 = \omega_2$, то $\varepsilon_2 > \varepsilon_1$ и относительная мера дисбаланса полной механической энергии для (17; $0,5 < \alpha \leq 1$, $\beta = 0,5$) заведомо больше, чем для (17; $\alpha = \beta = 0,5$).

Для базовой задачи (15) укажем здесь другой способ [9, гл. III] построения экономичных неравновесных моделей с контролируемым дисбалансом полной механической энергии. Как и выше, для упрощения записи будем считать $f_h = 0$. Итак, пусть задано $w_h^n = y^n = (v^n, \sigma^n)^T$. Переход $y^n \rightarrow y^{n+1}$ осуществим с помощью экономичной модели

$$\varepsilon_t^{n+1} - R_h v_h^n = 0 \rightarrow \sigma_h^{n+1} = K_h \varepsilon_h^{n+1} = 0 \rightarrow \rho v_t^{n+1} + R_h^* \sigma_h^{n+1} = 0, \quad (34)$$

для которой

$$J_h^{n+1} + 0,5\tau^2 (L_h v_h^n, v_h^n)_{H_h^1} = J_h^n + 0,5\tau^2 (\Lambda_h \sigma_h^{n+1}, \sigma_h^{n+1})_{H_h^2}, \quad \Lambda_h = R_h 1/\rho R_h^*. \quad (35)$$

Для перехода $y^{n+1} \rightarrow y^{n+2}$ будем использовать экономичную модель

$$\rho v_t^{n+2} + R_h^* \sigma_h^{n+1} = 0 \rightarrow \varepsilon_t^{n+2} - R_h v_h^{n+2} = 0, \quad (36)$$

для которой

$$J_h^{n+2} + 0,5\tau^2 (\Lambda_h \sigma_h^{n+1}, \sigma_h^{n+1})_{H_h^2} = J_h^{n+1} + 0,5\tau^2 (L_h v_h^{n+2}, v_h^{n+2})_{H_h^1}. \quad (37)$$

В качестве следствия из (35), (37) будем иметь

$$J_h^{n+2} + 0,5\tau^2 (L_h v_h^n, v_h^n)_{H_h^1} = J_h^n + 0,5\tau^2 (L_h v_h^{n+2}, v_h^{n+2})_{H_h^1} \quad (38)$$

и поэтому после завершения расчета при четном k получим

$$J_h^k + 0,5\tau^2 (L_h v_h^0, v_h^0)_{H_h^1} = J_h^0 + 0,5\tau^2 (L_h v_h^k, v_h^k)_{H_h^1}. \quad (39)$$

Из (39) следует, что оценки (32), (33) справедливы и для экономичной неравновесной модели (34), (36), где на этот раз в качестве ε_1 следует использовать $\varepsilon_3 = \omega_3^2$. Фиксация $\omega_i = c\tau_i/h$ фиксирует и меру дисбаланса полной механической энергии ε_i , $i = 1, 2, 3$:

$$\varepsilon_1 = 0,25\omega_1^2, \quad \varepsilon_2 = 0,5\alpha\omega_2^2, \quad \varepsilon_3 = \omega_3^2. \quad (40)$$

Следовательно,

$$\text{если } \varepsilon_3 = \varepsilon_2 = \varepsilon_1, \quad \text{то } \omega_1 > \omega_2 > \omega_3. \quad (41)$$

Поэтому если t_* — время завершения расчета, то

$$ht_*/c = k_1\omega_1 = k_2\omega_2 = k_3\omega_3, \quad (42)$$

что вместе с (41) дает $k_1 < k_2 < k_3$.

Увеличение k_i увеличивает число переходов $y^n \rightarrow y^{n+1}$, тем самым и общий объем «вычислительной работы» на переходе $y^0 \rightarrow y^{k_i}$. С этой точки зрения дискретная неравновесная модель (17; $\alpha = \beta = 0,5$) более предпочтительна, чем (17; $0,5\alpha \leq 1, \beta = 0,5$) и (34), (36). Тем самым появляются достаточные основания для того, чтобы принять неравновесную дискретную модель (17; $\alpha = \beta = 0,5$) в качестве базовой при численной реализации равновесной непрерывной базовой модели (15).

Вышесказанное означает также и то, что прикладное матобеспечение (ППП для конкретных линейных задач динамики упругого тела) следует строить на основе явно разрешимой дискретной модели (17; $\alpha = \beta = 0,5$) в стандартной реализации (17.1), (17.2). Особо следует отметить, что именно свойство явной разрешимости рассмотренных алгоритмов позволяет в качестве базовых ЭВМ использовать многопроцессорные вычислительные комплексы различной архитектуры.

ЛИТЕРАТУРА

1. Самарский А. А., Михайлов А. П. Математическое моделирование. М.: Наука; Физматлит, 1997.
2. Гаевский Х., Грёгер К., Захариас К. Нелинейные операторные уравнения и операторные дифференциальные уравнения. М.: Мир, 1978.
3. Като Т. Теория возмущений линейных операторов. М.: Мир, 1972.
4. Коновалов А. Н. Сопряженно согласованные аппроксимации и экономичные дискретные реализации для динамической задачи линейной теории упругости // Дифференц. уравнения. 2010. Т. 46, № 7. С. 1004–1010.
5. Самарский А. А., Николаев Е. С. Методы решения сеточных уравнений. М.: Наука, Физматлит, 1978.
6. Коновалов А. Н. Дискретные модели в динамической задаче линейной теории упругости и законы сохранения // Дифференц. уравнения. 2012. Т. 48, № 7. С. 990–996.
7. Самарский А. А., Гулин А. В. Устойчивость разностных схем. 2-е изд., испр. и доп. М.: УРСС, 2005.
8. Ландау Л. Д., Лифшиц Е. М. Механика сплошных сред. М.: Гостехиздат, 1954.
9. Самарский А. А., Попов Ю. П. Разностные методы решения задач газовой динамики. 4-е изд., испр. М.: УРСС, 2004.

Статья поступила 21 апреля 2015 г.

Коновалов Анатолий Николаевич
Институт вычислительной математики и математической геофизики СО РАН,
пр. Академика М. А. Лаврентьева, 6, Новосибирск 630090;
Новосибирский гос. университет,
ул. Пирогова, 2, Новосибирск 630090
kan@sscc.ru

Попов Юрий Петрович
Институт прикладной математики им. М. В. Келдыша РАН,
Миусская пл., 4, Москва 125047;
Московский гос. университет им. М. В. Ломоносова,
Ленинские горы, 1, Москва 119991
popov@keldysh.ru